

- [9] Маркевич В. П., Мурик Л. И., Литвинко А. Г. — ФТП, 1987, т. 21, в. 7, с. 1267—1270.
[10] Hansen W. L., Pearton S. J., Haller E. E. — Appl. Phys. Lett., 1984, v. 44, N 9, p. 889—891.

Институт физики твердого тела
и полупроводников АН БССР
Минск

Получено 23.12.1987
Принято к печати 22.02.1988

ФТП, том 22, вып. 7, 1988

**ПОГЛОЩЕНИЕ СВЕТА
СВОБОДНЫМИ НОСИТЕЛЯМИ ЗАРЯДА
В МНОГОДОЛИННЫХ ПОЛУПРОВОДНИКОВЫХ ПЛЕНКАХ**

Гашимзаде Ф. М., Тагиров Э. В.

В структурах с квантовыми ямами, кроме прямых межзонных и межподзонных переходов [1, 2], могут, как и в случае массивных образцов, осуществляться и непрямые оптические переходы, в которых носитель испускает или поглощает фотон с одновременным рассеянием на фононах или других несовершенствах. В работах [3—5] учитывалось лишь внутридолинное рассеяние. Здесь мы рассмотрим поглощение с участием междолинных фононов, которое может реализоваться в пленках $n\text{-Si}$, $n\text{-Ge}$, $n\text{-TlSe}$ и др. Для массивных образцов в общем случае такая задача решалась в работе [6]. Отметим, что вклад междолинного рассеяния в частотную зависимость коэффициента поглощения можно выделить, исследуя поглощение света в одноосно деформированных кристаллах [7]. По-видимому, такую же информацию можно получить, изучая влияние гидростатического давления на коэффициент поглощения с учетом рассеяния между неэквивалентными долинами.

Зная волновые функции носителей в пленке, выращенной в произвольном направлении, т. е. с произвольной ориентацией главных осей тензора эффективной массы относительно поверхности [8], можно рассчитать матричные элементы электрон-фotonного взаимодействия:

$$\langle \alpha' | H^{\text{Фот}} | \alpha \rangle = e\hbar \left(\frac{2\pi\hbar n_0}{V\Omega} \right)^{1/2} \delta_{k'_1, k_1} \delta_{k'_2, k_2} \left\{ \hat{\delta}_{n, n'} \left[W_{11}e_1 k_1 + W_{12}(e_2 k_1 + e_1 k_2) + W_{22}e_2 k_2 - W_{13}e_1 \left(\frac{W_{13}}{W_{33}} k_1 + \frac{W_{23}}{W_{33}} k_2 \right) - W_{23}e_2 \left(\frac{W_{13}}{W_{33}} k_1 + \frac{W_{23}}{W_{33}} k_2 \right) \right] - i \frac{n}{d} \left(\frac{1 - \cos [\pi(n' - n)]}{n' - n} + \frac{1 - \cos [\pi(n' + n)]}{n' + n} \right) (e_1 W_{13} + e_2 W_{23} + e_3 W_{33}) \right\}, \quad (1)$$

где n_0 — число фотонов в падающей электромагнитной волне, Ω — частота падающего света, k_i — составляющие квазимпульса в плоскости пленки, отсчитанные от точки экстремума $\mathbf{k}^{(0)}$, n — номер подзоны, W_{ij} — компоненты тензора обратной эффективной массы, e_i — составляющие вектора поляризации света, d — толщина пленки. Для матричных элементов электрон-фононного взаимодействия в приближении деформационного потенциала имеем

$$\langle \alpha' | H^{\text{Фон}} | \alpha \rangle = iN_q^{1/2} \left(\frac{\hbar}{2\rho\omega V} \right)^{1/2} \frac{D}{2} \left\{ \delta_{q_x, \frac{\pi}{d}(n' - n) + \Delta} + \delta_{q_x, -\frac{\pi}{d}(n' - n) + \Delta} - \delta_{q_x, \frac{\pi}{d}(n' + n) + \Delta} - \delta_{q_x, -\frac{\pi}{d}(n' + n) + \Delta} \right\} \delta_{k'_1 + k_1^{(0)'}, k_1 + k_1^{(0)} + q_x} \delta_{k'_2 + k_2^{(0)'}, k_2 + k_2^{(0)} + q_y}, \quad (2)$$

где

$$\Delta = \left[\frac{W_{13}}{W_{33}} (k_1 + k_1^{(0)}) + \frac{W_{23}}{W_{33}} (k_2 + k_2^{(0)}) \right] - \left[\frac{W_{13}'}{W_{33}} (k'_1 + k_1^{(0)'}) + \frac{W_{23}'}{W_{33}} (k'_2 + k_2^{(0)'}) \right],$$

D — константа междолинного деформационного потенциала, N_q — функция распределения фононов, ω — частота междолинного фонона.

Для пленок $n\text{-Si}$, $n\text{-Ge}$, выращенных в произвольном направлении, $W_{11}=W_{13}=0$. Это связано с равенством эффективных масс $m_x=m_y$, что позволяет произвольно выбирать одну из координатных осей в пленке. Уменьшение симметрии при переходе от массивного кристалла к пленке может привести к частичному или полному снятию вырождения, связанного с многодолинностью [9, 10]. В частности, для пленок $n\text{-Si}$, выращенных в направлении [001] ($n\text{-Si}$ —[001]), шестидолинный минимум распадается на двухдолинный (долина типа 1), находящийся в центре двумерной зоны Бриллюэна, и на четырехдолинный (долина типа 2). В кремнии $m_{\parallel} > m_{\perp}$, и, следовательно, долина 1 энергетически находится ниже долины 2, т. е. возможны g -переходы между эквивалентными долинами $1 \rightarrow 1$ и переходы между неэквивалентными долинами $1 \rightarrow 2$. Для кристаллов с $m_{\parallel} < m_{\perp}$ появляется также возможность f -процессов $2 \rightarrow 2$. Во всех случаях суммирование по долинам s и s' при расчете коэффициента поглощения производится триально:

Зависимость коэффициента поглощения света от частоты падающего света для случая заполнения одной подзоны ($n_i=1$) при междолинном рассеянии типа $1 \rightarrow 1$.

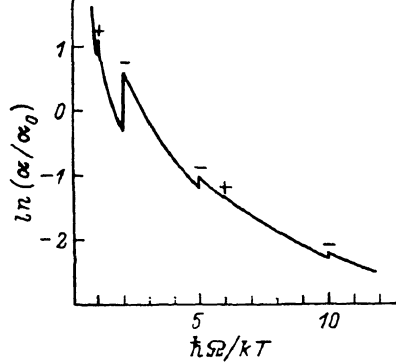
Знаки «+» и «—» — поглощение и испускание фона на соответственно.

$$\sum_{ss'} (W_{11}e_{1s}^2 + W_{22}e_{2s}^2) = N_s N_{s'} \frac{1}{2} (W_{11} + W_{22}) = \frac{N_s N_{s'}}{m_0^s}. \quad (3)$$

Здесь m_0^s — оптическая эффективная масса в долине s , N_s — число долин типа s . Если свет падает перпендикулярно поверхности пленки, то для $n\text{-Si}$ —[001] возможность прямых межподзонных переходов исключается [отсутствуют в (1) члены с $n \neq n'$], и с учетом (1)–(3) при любых междолинных процессах рассеяния коэффициент поглощения для Больцмановской статистики имеет вид

$$\alpha_{\pm} = \frac{\pi n_e e^2 k T D^2 N_{s'}}{\gamma^2 \hbar^3 \omega^3 d \rho \omega c \gamma} \left(\frac{1 - \exp(-\hbar \Omega / kT)}{(W'_{11} W'_{22})^{1/2}} \right) \left(N_q + \frac{1}{2} \mp \frac{1}{2} \right) \sum_{n_i=1}^{\infty} \sum_{n_f=1}^{N^+} \left(1 + \frac{1}{2} \delta_{n_i, n_f} \right) \times \exp \left(-\frac{E_0 n_i^2}{kT} \right) \left[\frac{1}{m_0^s} + \left(1 + \frac{E_0 n_i^2 - E_0' n_f^2 + \hbar \Omega \pm \hbar \omega}{kT} \right) / m_0^{s'} \right], \quad (4)$$

где N^{\pm} — максимальная целая часть от $\left(\frac{E_0 n_i^2 + \hbar \Omega \pm \hbar \omega}{E_0} \right)^{1/2}$; $E_0 = \frac{\hbar^2 \pi^2 W_{33}}{2d^2}$; $\gamma = \sum_n \exp(-E_0 n^2 / kT)$; $W'_{11} = W'_{22} = 1/m_{\perp}$ для рассеяния типа $1 \rightarrow 1$, $2 \rightarrow 2$; $W'_{11} = 1/m_{\perp}$, $W'_{22} = 1/m_{\parallel}$ для рассеяния типа $1 \rightarrow 2$, $2 \rightarrow 1$. Аналогичное выражение можно получить и для вырожденного электронного газа. Коэффициент поглощения имеет осциллирующий характер, причем качественно зависимости от частоты света и от толщины пленки совпадают. Если частота междолинного фонона сравнима с частотой падающего света, то пороги межподзонного перехода с испусканием [$N^- = (1 + (\hbar \Omega - \hbar \omega) / E_0)^{1/2}$] и с поглощением фона [$N^+ = (1 + (\hbar \Omega + \hbar \omega) / E_0)^{1/2}$] заметно различаются, вследствие чего эти процессы становятся различимыми на кривой поглощения: поглощению фона соответствует меньший пик, чем его испусканию (см. рисунок, где $\alpha = \alpha_+ + \alpha_-$, $\alpha_0 = \frac{2N_e \pi n_e e^2 k T D^2}{\gamma^2 d \rho \omega c \gamma E_0^3 \exp(E_0/kT)}$; расчет произведен в предположении $\hbar \omega = 2kT$, $E_0 = kT$). В случае рассеяния между эквивалентными долинами выражение (4) аналогично соответствующему выражению для внутридолинного рассеяния на оптическом деформационном потенциале [5]. При этом $\alpha / \alpha_{\text{опт}} \approx D^2 / D_{\text{опт}}^2$, т. е.



вклады междолинного и внутридолинного рассеяния в поглощение одного порядка. Для пленок типа n -Si, выращенных в направлении [111], $W_{23} \neq 0$, что позволяет осуществляться прямым межподзонным переходам без участия фононов. Коэффициент поглощения при этом следует рассчитывать в первом порядке теории возмущения. В результате получается зависимость, имеющая характер δ -функции, т. е. поглощение обращается в бесконечность, как только энергия фона на становится достаточной для перехода электрона на вышележащие подзоны ^[1].

Л и т е р а т у р а

- [1] Рытова Н. С. — ФТТ, 1966, т. 8, в. 9, с. 2672—2678.
- [2] Когая В. Г., Кресин В. З. — ФТТ, 1969, т. 11, в. 11, с. 3230—3235.
- [3] Spector H. — Phys. Rev. B, 1983, v. 28, N 2, p. 971—976.
- [4] Adamska H., Spector H. — J. Appl. Phys., 1984, v. 56, N 4, p. 1123—1127.
- [5] Kubakaddi S. S., Muliniani B. G. — J. Appl. Phys., 1985, v. 58, N 9, p. 3640—3642.
- [6] Гашимзаде Ф. М., Тагиров Э. В. — ДАН АзССР, 1986, т. 42, в. 10, с. 21—24.
- [7] Демиденко З. А., Томчук П. М. — ФТП, 1981, т. 15, в. 8, с. 1589—1595.
- [8] Stern F., Howard W. E. — Phys. Rev., 1967, v. 163, N 3, p. 816—835.
- [9] Тавгер Б. А. — ЖЭТФ, 1965, т. 48, в. 1, с. 185—186.
- [10] Тавгер Б. А. — Изв. вузов СССР, Физика, 1967, № 6, с. 118—124.

Институт физики АН АзССР
Баку

Получено 7.07.1987
Принято к печати 24.02.1988

ФТП, том 22, вып. 7, 1988

О ВЛИЯНИИ ФЛУКТУАЦИЙ ПОТЕНЦИАЛА НА ИЗМЕРЕНИЯ ГУ МЕТОДАМИ ЕМКОСТНОЙ СПЕКТРОСКОПИИ

Фукс Б. И.

В последнее время для измерения глубоких уровней (ГУ) широко используется емкостная спектроскопия. Важное достоинство ее методов состоит в том, что, меняя напряжение, приложенное к области пространственного заряда (ОПЗ) полупроводника, можно легко менять степень заполнения измеряемых ГУ. Между тем в силу слабости электронного экранирования в ОПЗ флуктуации потенциала, обусловленные хаотическим распределением заряженных центров, имеют там повышенную амплитуду. По этой причине обычно используемая в теории емкостной спектроскопии низкотемпературная, ступенчатая аппроксимация степени заполнения ГУ в ОПЗ оказывается неточной.

Например, в ОПЗ, примыкающей к полупроводниковой подложке, легированной мелкими и глубокими акцепторами с концентрациями N_a и N , степень f в распределении степени заполнения ГУ дырками $f(z)$ размывается и в пре-небрежении влиянием заряда ГУ на флуктуации потенциала принимает вид

$$f(z) = \int_{-\infty}^{\varepsilon_t - \varepsilon_F - e\varphi(z)} d\Psi P(\Psi, z), \quad (1)$$

где $P(\Psi, z)$ — вероятность флуктуаций потенциала амплитуды Ψ/e в плоскости с координатой z , ε_t — энергия связи ГУ, ε_F — положение уровня Ферми, $\varphi(z)$ — среднее значение потенциала в плоскости z , потенциал подложки принят за нуль (см. рисунок). Влияние флуктуаций потенциала в силу уравнения Пуассона

$$\frac{d^2\varphi}{dz^2} = \frac{4\pi e}{\varkappa} \left[N_a + N \int_{\varepsilon_t - \varepsilon_F - e\varphi(z)}^{\infty} d\Psi P(\Psi, z) \right] \quad (2)$$